

01; 02

ПРОЦЕССЫ В ЭЛЕКТРОННОЙ ОБОЛОЧКЕ ПРИ ДЕЛЕНИИ ЯДЕР ТЯЖЕЛЫХ ЭЛЕМЕНТОВ

A. З. Девдариани, А. Л. Загребин

На примере атомов U и Cf рассмотрены процессы образования свободных электронов и вакансий при делении ядер тяжелых элементов в зависимости от зарядового состояния осколков. Установлено, что в результате деления образуются ионы осколков с суммарным зарядом 50–60 и вакансиями в L -оболочках. Электронный спектр освободившихся электронов простирается до 500 эВ.

Введение

Исследование процессов в электронной оболочке при делении ядра представляет интерес как для физики деления, так и физики атомных столкновений, поскольку позволяет в принципе сравнивать «половинные» и полные столкновения многозарядных ионов и тем самым более детально исследовать процесс столкновения. Определение состояния электронной оболочки ионов-осколков и энергий свободных электронов непосредственно после деления может быть интересно также для физики газофазных реакторов [1, 2], процессов взаимодействия продуктов деления со средой [1, 3, 4].

В работе [5] на примере деления ядра U с образованием наиболее вероятных продуктов деления Sr и Xe установлено образование вакансий в L и M -электронных оболочках ионов-осколков непосредственно в процессе деления. В данной работе анализируются закономерности в вероятностях образования вакансий в процессе деления электронного облака и их распределения по внутренним оболочкам осколков для различных продуктов деления U (n_{th}, f) и Cf (sf), определяются энергии свободных электронов, образовавшихся в процессе деления.¹

Процесс деления рассматривается как «половинное» столкновение осколков с нулевым параметром удара, что позволяет использовать методы теории атомных столкновений. Анализ основан на привлечении диабатических корреляционных диаграмм [7] для симметричных (рис. 1) и слабоасимметричных (рис. 2) многоэлектронных систем и оценке вероятностей переходов между квазимолекулярными орбиталами. Отметим, что близкая по постановке «одноэлектронная» задача об увлечении мюона осколками при делении мезоатома U рассматривалась в [8].

Все полученные ниже результаты могут быть легко перенесены на случай спонтанного или индуцированного деления других тяжелых ядер.

Образование свободных электронов в процессе деления

При делении ядер U (n_{th}, f) и Cf (sf) ионы осколков разлетаются с относительной скоростью $v^n = v_i^n + v_H^n \approx 11$ а. е., скорость тяжелого осколка $v_H^n \approx 4.5$ а. е. при делении U и $v_H^n \approx 4.75$ а. е. при делении Cf. Основную часть кинетической

¹ Предварительные результаты работы докладывались на III научном семинаре «Автоионизационные явления в атомах» [6] (в [6] орбиталь $6h\sigma$ ошибочно именуется орбитальной $5f\sigma$).

энергии (99 %) осколки приобретают уже за время $t \approx 4 \cdot 10^{-20}$ с после деления [9], что соответствует разлету ядер на расстояние $R < \langle r^K \rangle (\langle r^K \rangle — средний радиус K\text{-оболочки объединенного атома}, \langle r^K \rangle \approx 0.01 a_0$ [10]). Рассмотренные ниже процессы в электронной оболочке происходят в области $\langle r^L \rangle \leq R \leq \langle r^{ou} \rangle$ ($\langle r^L \rangle \approx 0.05 a_0$ [10]) — радиус L -оболочки, $\langle r^{ou} \rangle \approx 2a_0$ — характерный радиус внешних оболочек объединенного атома). Эта область соответствует временам $10^{-19} < t < 10^{-17}$ с после деления ядра. Энергии электронных переходов малы по сравнению с кинетической энергией ядер, поэтому траекторию разлета ядер осколков можно считать заданной и не учитывать обмена энергией между электронным и ядерным движением.

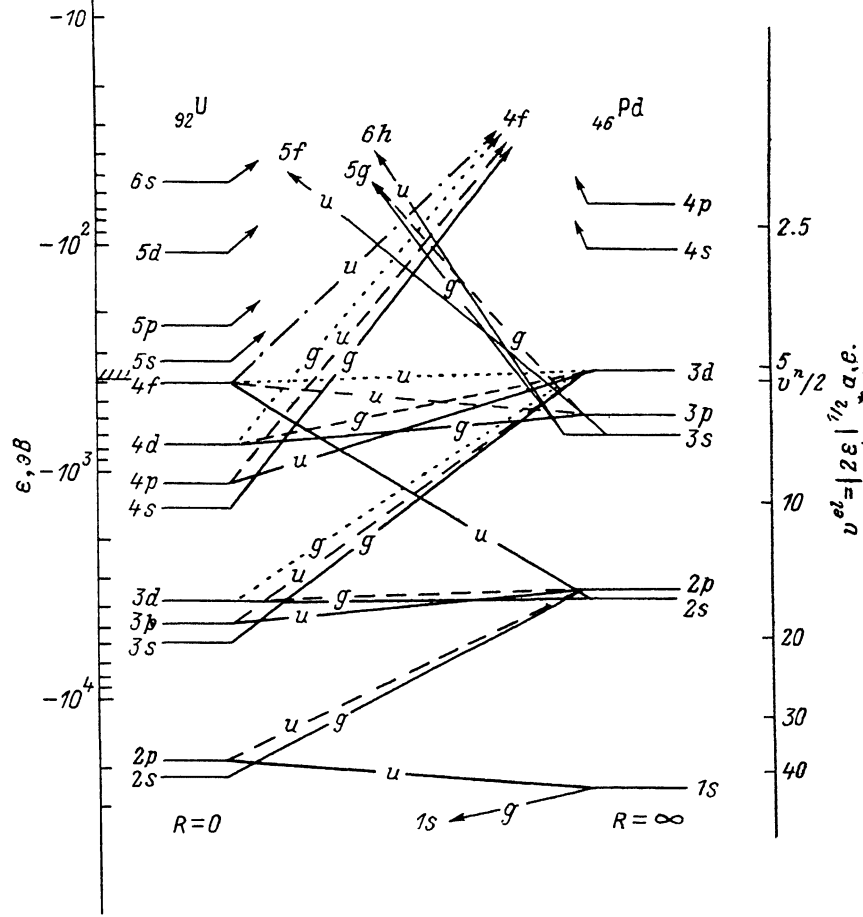


Рис. 1. Диабатическая корреляционная диаграмма симметричной системы $_{46}\text{Pd}-_{46}\text{Pd}$. На шкале энергий отмечена граница между внешними и внутренними электронами в атоме $_{92}\text{U}$. Сплошные линии — σ , пунктир — δ , штриховые линии — π , штрихпунктир — φ .

Величина v^n медленно изменяется с изменением зарядов ядер-осколков Z_L и Z_H и их масс. Связанная с неопределенностью $\Delta E_k \approx 20$ МэВ в суммарной кинетической энергии $E_k \approx 180$ МэВ осколков [11] неопределенность Δv^n величины v^n мала, $\Delta v^n / v^n \approx 0.05$. Поэтому влиянием изменения v^n на характеристики рассмотренных ниже процессов можно пренебречь по сравнению с влиянием изменения других параметров (например, α , $\Delta \varepsilon$ в формуле (8)) при изменении Z_L , Z_H . Далее величина v^n считается постоянной ($v^n = 11$ а. е.).

Подобно тому, как было установлено в [5] на примере деления U с образованием наиболее вероятных продуктов деления, в общем случае деления ядер U, Cf величина суммарного заряда тяжелого (H) и легкого (L) ионов-осколков $q_H = q_H + q_L$ (q_H , $L = Z_H$, $L = N_H$, L — полное число электронов в ионе после разлета осколков на расстояние в несколько атомных единиц) определяется

двумя механизмами. Первый из них связан с потерей «внешних» электронов (32 в атоме U и 38 в Cf) объединенного атома с главным квантовым числом $n \geq 5$ и орбитальной скоростью $\langle v^{\alpha i} \rangle < v_H^n$, i (аналог критерия Бора [12, 13]). Второй механизм обусловлен отрывом 14 электронов с диабатических орбиталей $4s\sigma$, $4p\pi$, $4d\delta$, $4f\varphi$, коррелирующих с высоколежащими уровнями осколков (рис. 1, 2). Поэтому $q_2 \geq 46$ для U (n_{th} , f) и $q_2 \geq 52$ для Cf (sf). Кроме того, с большой вероятностью происходит отрыв еще десяти электронов, заполняющих уровень $4f$ объединенного атома, так как этот уровень лежит на границе

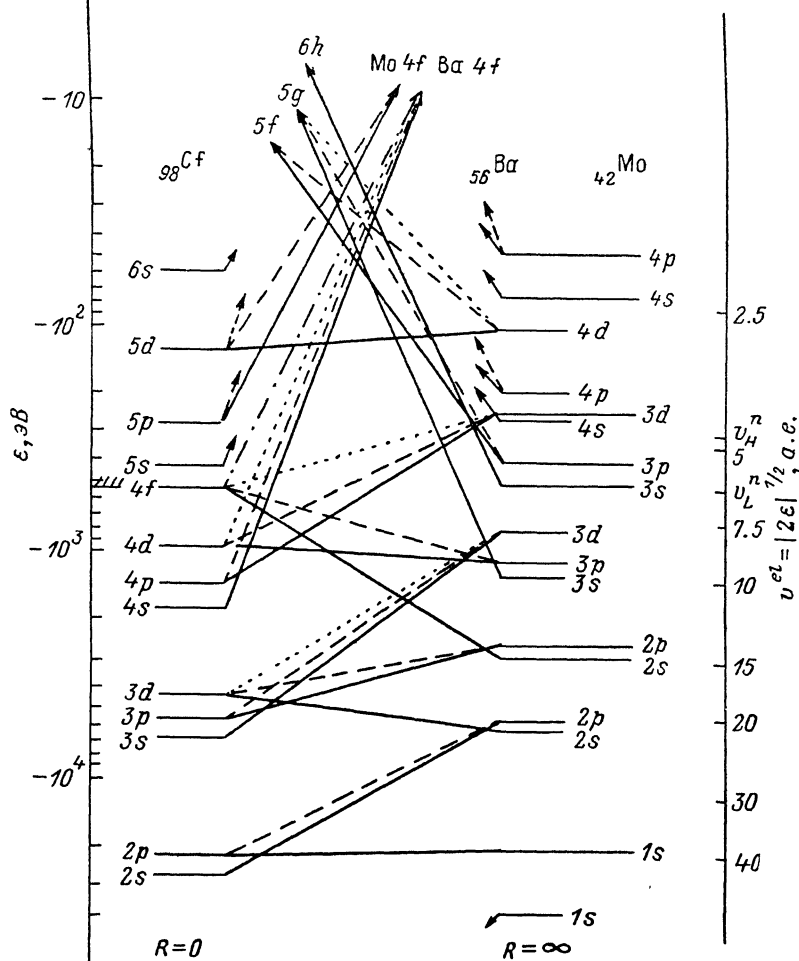


Рис. 2. Диабатическая корреляционная диаграмма слaboасимметричной системы $^{41}\text{Mo} - ^{56}\text{Ba}$.
 α , δ , π , φ обозначены так же, как и на рис. 1.

между «внутренними» и «внешними» электронами (4 из четырнадцати $4f$ -электронов уже учтены выше как отрывающиеся с $4f$ ф-орбиталями). Так, на начальной стадии разлета осколков с почти единичной вероятностью происходит прямая ионизация двух электронов с $4f\varphi$ -орбиталями (см. ниже). Таким образом, получаем оценку $q_2 \leq 56$ для деления урана и $q_2 \leq 62$ для калифорния.²

Величина q_2 больше при делении более тяжелого элемента, так как положение границы между «внутренними» и «внешними» электронами слабо зависит от заряда исходного ядра. То обстоятельство, что граница проходит вблизи многоэлектронного уровня $4f$, обуславливает достаточно широкое (с полушири-

² При разлете осколков часть «внешних» ($4f$, $4d\delta$, $4p\pi$ и $4s\sigma$) электронов может быть захвачена на верхние уровни осколков с главными квантовыми числами n_L , $n \geq 3$, однако они быстро теряются вследствие переходов Костера—Кронига, так как в L - и M -оболочках осколков имеются вакансии.

ной $\Delta q_z \sim 5$) распределение вероятных значений q_z вблизи средней величины \bar{q}_z , $\bar{q}_z \sim 50$ для $U(n_{th}, f)$ и $\bar{q}_z \sim 55$ для $Cf(sf)$.

Величина q_z после деления практически не зависит от нуклонного состава ядер-осколков. В процессе дальнейшего свободного разлета осколков (т. е. без столкновений с атомами среды) при $t \sim 10^{-16}$ с, $R \sim 100a_0$ заряд q_z увеличивается на величину $\delta q_z^4 \approx 2$ вследствие оже-разрядки L_L , n - и M_n -вакансий и при $t \sim 10^{-14} - 10^{-7}$ с [9] на величину δq_z^6 в результате образования и распада вакансий при внутренней конверсии γ -излучения возбужденных ядер-осколков. Величина $\delta q_z^6 \leq 3$ сильно зависит от нуклонного состава ядер-осколков [14]. Отметим, что величина q_z после деления превосходит сумму равновесных зарядов для аналогичных ионов, распространяющихся в среде [11, 15], так что на начальной стадии распространения осколков наряду с ионизацией атомов среды происходит захват электронов осколками.

Обсудим характер энергетического распределения электронов, оторвавшихся непосредственно в процессе деления. Для одноэлектронного атома в пределе $v_{H, L}^n \gg v^{el}$ энергетический спектр (в приближении внезапных возмущений [16]) определяется квадратом электронной волновой функции в импульсном представлении, а средняя кинетическая энергия совпадает с энергией связи (с обратным знаком) электрона в атоме.

Для многоэлектронных атомов необходимо оценить влияние взаимодействия оторвавшихся электронов между собой, а также их взаимодействие с разлетающимися ионами-осколками, поскольку для части отрывающихся электронов условие $v_{H, L}^n \gg v^{el}$ близко к нарушению. Суммарная кинетическая энергия «внешних» электронов $e_z (n \geq 5) = \sum_i |e_i| n_i \approx 3200$ эВ, $e_z (n \geq 5 + 4f) \approx 8600$ эВ для урана и $e_z (n \geq 5) \approx 4200$ эВ, $e_z (n \geq 5 + 4f) \approx 11600$ эВ для калифорния (e_i — приведенные в табл. 1 энергии одноэлектронных уровней i атомов U и Cf [17], n_i — число электронов на уровне i). Величина e_z близка к половине потенциальной энергии (с обратным знаком) взаимодействия «внешних» электронов с объединенным ядром и «внутренними» электронами и существенно превосходит потенциальную энергию взаимодействия «внешних» электронов между собой $|V| \sim N/(2r)$, где N — число «внешних» электронов, $r \sim a_0$ — характерный радиус орбиты для «внешних» электронов, $|V(n \geq 5)| \sim 400$, $|V(n \geq 5 + 4f)| \sim 600$ эВ для урана и $|V(n \geq 5)| \sim 500$,

Таблица 1

Энергия e_i [17], средняя скорость $\langle v_i^{el} \rangle = (2 |e_i| / m_e)^{1/2}$ и число электронов n_i для «внешних» уровней атомов U и Cf

Уровень	U			Cf		
	$-e_i$, эВ	$\langle v_i^{el} \rangle$, a. e.	n_i	$-e_i$, эВ	$\langle v_i^{el} \rangle$, a. e.	n_i
$4f_{5/2}$	391	5.4	6	541	6.3	6
$4f_{7/2}$	380	5.3	8	523	6.2	8
$5s_{1/2}$	323	4.9	2	423	5.6	2
$5p_{1/2}$	259	4.4	2	342	5.0	2
$5p_{3/2}$	196	3.8	4	249	4.3	4
$5d_{3/2}$	104	2.8	4	136	3.2	4
$5d_{5/2}$	95	2.6	6	124	3.0	6
$6s_{1/2}$	49	1.9	2	58	2.0	2
$6p_{1/2}$	31	1.5	2	35	1.6	2
$6p_{3/2}$	19	1.2	4	19	1.1	4
$5f$	8.5	0.8	3	10	0.9	10
$6d$	5.7	0.6	1	—	—	0
$7s$	4.6	0.6	2	5	0.6	2

$|V(n \geq 5+4f)| \sim 700$ эВ для калифорния. Таким образом, учет взаимодействия «внешних» электронов между собой после деления не может привести к существенному изменению их спектрального распределения. Впренебрежении взаимодействием «внешних» электронов с разлетающимися ионами-осколками основные особенности этого распределения определяются величинами ϵ_i , n_i (табл. 1), как и в случае деления одноэлектронного атома. Средняя кинетическая энергия оторвавшихся в процессе деления «внешних» электронов $\epsilon_{ou} \sim -150$ эВ, полуширина распределения $\Delta \epsilon_{ou} \sim \bar{\epsilon}_{ou}$.

Электроны с уровня $4f$ отрываются на начальной стадии разлета и имеют энергию $\epsilon \leq 500$ эВ. Электроны с орбиталей $4s\sigma$, $4p\pi$, $4d\delta$ отрываются при условии $|\epsilon_i(k)| \leq m_e(v_L^n)^2/2$ и также имеют энергию $\epsilon \leq 500$ эВ. Аналогичная оценка с использованием критерия Бора [12, 13] для столкновения иона-осколка с атомом показывает, что в процессе столкновения образуются электроны с энергиями $\epsilon \leq 300$ эВ, что согласуется с экспериментальными данными (см., например, [1]).

Таким образом, основная часть свободных электронов, образовавшихся в процессе деления, имеет энергию $\epsilon \leq 500$ эВ. В процессе дальнейшего разлета осколков в результате оже-распада вакансий и внутренней конверсии образуются электроны с энергиями $\epsilon \geq 1$ кэВ. Спектральное распределение электронов в области $\epsilon \geq 10$ кэВ исследовалось экспериментально (см., например, [18, 19]).

Образование вакансий во внутренних электронных оболочках ионов-осколков в процессе деления

В работе [5] установлено два основных механизма образования вакансий во внутренних электронных оболочках ионов-осколков непосредственно в процессе деления, т. е. до образования вакансий, связанных с внутренней конверсией при γ -переходах в ядрах осколков. Первый механизм связан с промотированием ряда орбиталей, коррелирующих с незаполненными или соответствующими малым энергиям связями ($|\epsilon_i| \ll m_e(v_H^n)^2/2$) уровнями объединенного атома, в частности $5g$, $6h$ (рис. 1, 2).

Две вакансы на $5g\sigma$ -орбиталях с почти единичной вероятностью переходят во внутренние оболочки осколков, главным образом в M_H -оболочку тяжелого осколка.³ Заполнение вакансий на $5g\sigma$ -орбиталях вследствие ландау-зинеровских переходов в областях пересечений с заполненными орбиталями, коррелирующими с уровнями внешних оболочек ионов-осколков ($n_L \geq 3$, $n_H \geq 4$), например $4s\sigma$, $4p\sigma$, несущественно [5].

В процессе разлета осколков при прохождении областей формирования атомных орбиталей ионов-осколков в окрестностях межъядерных расстояний R_{fg} , R_{fh} переходы $5g\sigma \rightarrow 4f\sigma$, $6h\sigma \rightarrow 4f\sigma$ приводят к образованию вакансий в L_L -оболочке легкого осколка. Другие переходы между незаполненными и заполненными орбиталями, которые также приводят к образованию L_L -вакансии, менее вероятны. Заметим, что окончательное распределение вакансий по j -уровням M - и L -оболочек осколков определяется переходами между орбиталями в процессе дальнейшего разлета и ниже не рассматривается.

Второй механизм состоит в прямой ионизации внутренних промотирующих орбиталей на начальной стадии разлета осколков ($R \leq 0.2a_0$). Характерным примером такой орбитали для деления урана и трансурановых элементов является $4f\sigma$ -орбиталь, выдвигающаяся при малых R к границе между «внутренними» и «внешними» электронами (рис. 1, 2). На основании расчета [20] для столкновений $Ag + Ag$ ($2Z_{Ag}=94$) с параметром удара $\rho=0$ и относительной скоростью $v''=2.5-3.85$ а. е. можно заключить, что вероятность P_f прямой ионизации $4f\sigma$ -орбиталя (на один электрон) при делении U, Cf близка к единице.

После прямой ионизации $4f\sigma$ -орбиталя при $R \approx R_f$ возможен переход вакансии $4f\sigma \rightarrow 3d\sigma$ при $R=R_{fd}$, который приводит к образованию L_H -вакансии.

³ Понятие M_H -вакансии имеет смысл, так как уровни M_L - и N_H -оболочек частично за- селяются электронами с орбиталей $4p\sigma$, $4d\pi$ и $4f\delta$.

Как показывают оценки, которые основаны на анализе корреляционных диаграмм систем $^{36}\text{Kr}-^{54}\text{Xe}$ [7] и $^{47}\text{Ag}-^{55}\text{Cs}$ [21] (эти диаграммы аналогичны диаграммам для наиболее вероятных продуктов деления урана $^{38}\text{Sr}-^{54}\text{Xe}$ и калифорния $^{42}\text{Mo}-^{56}\text{Ba}$) $R'_{fg} \lesssim R_{fh} \approx 0.5a_0$, а $R_{fg} \approx 0.25a_0$, поэтому переход $5g\sigma(6h\sigma) \rightarrow 4f\sigma \rightarrow 3d\sigma$ в процессе деления невозможен.

Для количественной оценки вероятностей образования вакансий в L , M -оболочках легкого и тяжелого осколков обратимся к рис. 3, который схематизирует основные переходы вакансий, и будем считать, что в каждой из областей взаимодействия орбиталей переходы происходят независимым образом.

Вероятности образования одной ($P_{L_H, L}^{(1)}$) и двух ($P_{L_H, L}^{(2)}$) вакансий, например, в $L_{H,L}$ -оболочке связаны с вероятностью образования σ -вакансии с заданной проекцией спина на межъядерную ось $P_{L_H, L}^{\sigma}$

$$P_{L_H, L}^{(1)} = 2P_{L_H, L}(1 - P_{L_H, L}^{\sigma}), \quad (1)$$

$$P_{L_H, L}^{(2)} = (P_{L_H, L}^{\sigma})^2, \quad (2)$$

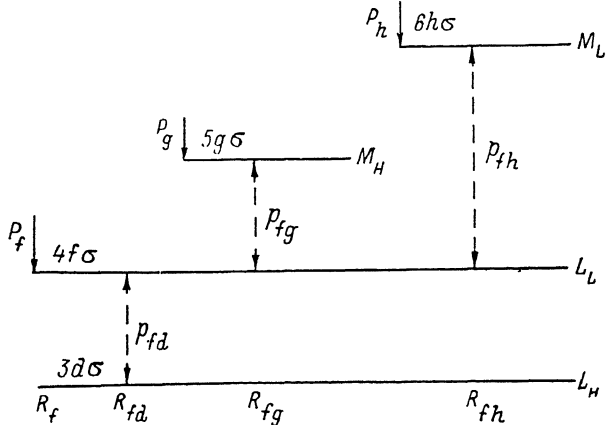


Рис. 3. Схематическая диаграмма переходов между орбитальными состояниями, которые приводят к образованию вакансий во внутренних оболочках ионов-осколков.

аналогичные выражения справедливы и для M_H -оболочки. Как видно из рис. 3,

$$P_{L_H}^{(\sigma)} = P_f p_{fa}, \quad (3)$$

$$P_{M_H}^{\sigma} = P_f(1 - p_{fa}) p_{fg} + P_g(1 - p_{fg}), \quad (4)$$

$$P_{L_L}^{\sigma} = P_f(1 - p_{fa})(1 - p_{fg})(1 - p_{fh}) + P_g p_{fg}(1 - p_{fh}) + P_h p_{fh}, \quad (5)$$

где $p_{fd, fg, fh}$ — вероятности переходов $4f\sigma \rightarrow 3d\sigma$, $4f\sigma \rightarrow 5g\sigma$, $4f\sigma \rightarrow 6h\sigma$; $P_{g, h}$ — вероятность того, что вакансия (с заданной проекцией спина) на орбиталах $5g\sigma$, $6h\sigma$ не заполнена при $R < R_{fg}$, $R < R_{fh}$.

Как обсуждалось выше, можно считать, что $P_g \approx P_h \approx 1$. Поэтому, пренебрегая членами порядка $p_{fd}p_{fg}$, $p_{fd}p_{fh}$, $p_{fg}p_{fh}$, что оправдано для полученных ниже значений p_{fd} , p_{fg} , p_{fh} , оценить вероятность образования L_L -вакансии можно по формуле

$$P_{L_L}^{\sigma} = P_f(1 - p_{fd}) + (1 - P_f)(p_{fg} + p_{fh}). \quad (6)$$

Для вероятностей переходов в первом приближении естественно воспользоваться формулой Демкова [22]

$$p = \frac{\exp(-\xi)}{1 + \exp(-\xi)}, \quad \xi = \frac{\pi \Delta \varepsilon}{\alpha v^n}, \quad (7)$$

$$\Delta \varepsilon = |\varepsilon_1 - \varepsilon_2|, \quad \alpha = \frac{1}{2} [(2|\varepsilon_1|)^{1/2} + (2|\varepsilon_2|)^{1/2}], \quad (8)$$

де $\varepsilon_1, \varepsilon_2$ — энергии соответствующих уровней, т. е. $2s_{1/2}, L, 3s_{1/2}, H$ для перехода $5g\sigma \rightarrow 4f\sigma; 2s_{1/2}, H, 2s_{1/2}, L$ для перехода $4f\sigma \rightarrow 3d\sigma; 2s_{1/2}, L, 3s_{1/2}, L$ для перехода $4f\sigma \rightarrow 6h\sigma$.

При вычислениях не учитывалось различие в значениях $\varepsilon_1, \varepsilon_2$ для многозарядных ионов от соответствующих величин [17] для нейтральных атомов. Отметим, что расчет [23] и эксперимент [24] свидетельствуют о незначительном изменении величины $|\varepsilon_1 - \varepsilon_2|$ для многозарядного иона по сравнению с атомом. Результаты расчетов вероятностей переходов представлены на рис. 4. При симметричном делении переход $5g\sigma_g \rightarrow 4f\sigma_u$ запрещен.

Если $P_f \ll 1$, т. е. вакансии образуются по первому механизму, то, полагая $P_g = P_h = 1$, для наиболее вероятных продуктов деления урана $^{38}\text{Sr} - ^{54}\text{Xe}$ (ка-

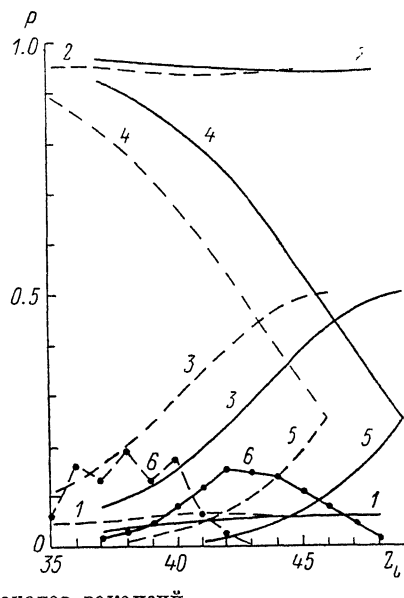
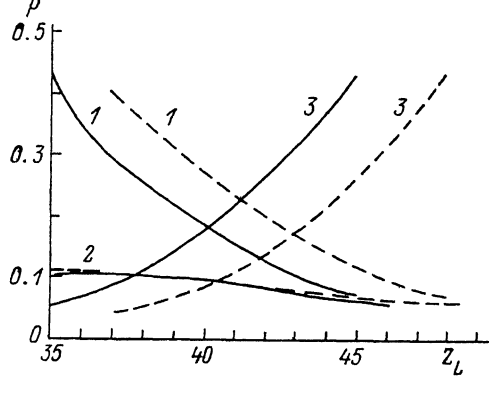


Рис. 4. Вероятности переходов вакансий.

1 — p_{fg} , 2 — p_{fh} , 3 — p_{fL} . Сплошные кривые — случай деления ядра урана, штриховые — калифорния.

Рис. 5. Вероятности образования одной ($P^{(1)}$) и двух ($P^{(2)}$) вакансий в L_H - и M_H -оболочках тяжелого и L_L -оболочке легкого осколков при делении ядра в случае $P_f = P_g = P_h = 1$.

1 — $P_{M_H}^{(1)}$; 2 — $P_{M_H}^{(2)}$; 3 — $P_{L_L}^{(1)}$, $P_{L_H}^{(1)}$; 4 — $P_{L_L}^{(2)}$, 5 — $P_{L_H}^{(2)}$; 6 — распределение [24, 28] осколков деления по зарядам. Сплошные кривые — деление Cf, штриховые кривые — деление U.

лифорния $^{42}\text{Mo} - ^{56}\text{Ba}$) получаем $P_{L_H}^s \ll 1$, $P_{L_L}^s = p_{fg} + p_{fh} = 0.36$ (0.29), $P_{M_H}^s = 1 - p_{fg} = 0.74$ (0.80) соответственно, так что вероятности образования одной и двух вакансий следующие: $P_{L_H}^{(1)}, P_{L_H}^{(2)} \ll 1$, $P_{L_L}^{(1)} = 0.46$ (0.41), $P_{L_L}^{(2)} = 0.13$ (0.08), $P_{M_H}^{(1)} = 0.38$ (0.32), $P_{M_H}^{(2)} = 0.54$ (0.64). Как отмечено выше, для случая деления ядер тяжелых элементов величина $P_f \approx 1$. На рис. 5 приводятся вычисленные вероятности образования вакансий при $P_f = P_g = P_h = 1$ (в этом случае $P_{L_H}^{(1)} = P_{L_L}^{(1)}$). Отметим, что для деления урана и калифорния вероятности $P_{L_L, L_H, M_H}^{(1), (2)}$ (U, Z_L) и $P_{L_L, L_H, M_H}^{(1), (2)}$ ($Cf, Z_L + 3$) практически совпадают ($Z_{Cf} = Z_U + 6$).

Таким образом, практически каждое деление приводит к образованию одной-двух вакансий в L -оболочке легкого и M -оболочке тяжелого осколков, а каждое четвертое-пятое деление — к образованию вакансии в L -оболочке тяжелого осколка.

Наличие нескольких каналов, приводящих к образованию L -вакансий, и частичное перекрывание областей неадиабатичности (особенно вблизи R_{fg} и R_{fh}) требуют выхода за рамки использованного выше приближения локализованных областей неадиабатической связи двух состояний. Приведенные на рис. 4 вероятности переходов являются приближенными оценками и в рамках двухуровневого приближения. Для получения более надежных значений вероятностей переходов необходимы расчеты зависимостей энергий орбиталей

$\varepsilon_i(R)$ в областях переходов с целью определения параметров более общей экспоненциальной модели Никитина [25].

Характер связанный с использованием формулы Демкова (7) с параметрами (8) неточности в значениях вероятностей переходов вакансий в случае деления ядер урана и калифорния с образованием наиболее вероятных продуктов деления аналогичен такой же неточности в значениях вероятностей переходов в случае разлета с относительной скоростью $v^* = 11$ а. е. осколков деления ядер тория (^{36}Kr и ^{54}Xe) и нобелия (^{47}Ag и ^{55}Cs). На основании экспоненциальной аппроксимации вычисленных в [7, 21] зависимостей $\varepsilon_i(R)$ для систем $\text{Kr} + \text{Xe}$ и $\text{Ag} + \text{Cs}$ можно заключить, что переходы $5g\sigma \rightarrow 4f\sigma$, $4f\sigma \rightarrow 3d\sigma$ действительно могут быть интерпретированы в рамках модели Демкова (7), (8), но величины $\Delta\varepsilon$ и α отличаются от значений (8).

Полученные на основании аппроксимации зависимостей $\varepsilon_i(R)$ для систем $\text{Kr} + \text{Xe}$ [7] и $\text{Ag} + \text{Cs}$ [21] значения параметров α , $\Delta\varepsilon$, вычисленные по формулам (1)–(4), (6), (7) вероятности переходов p_{fd} , p_{fg} и образования вакансий $P_{L_L}^{(1)}, P_{L_H}^{(2)}, M_H$ при скорости разлета $v^* = 11$ а. е. для $P_f = P_g = P_h = 1$, приводятся в табл. 2. В скобках даны значения параметров α , $\Delta\varepsilon$ (8) и соответствующих

Таблица 2

Вероятности переходов p_{fd} , p_{fg} и образования одной ($P^{(1)}$)
и двух ($P^{(2)}$) вакансий в L_L -, L_H - и M_H -оболочках осколков
при делении ядра ^{90}Th с образованием ^{36}Kr и ^{54}Xe
и делении ядра ^{102}No с образованием ^{47}Ag и ^{55}Cs для
скорости разлета осколков $v^* = 11$ а. е. и вероятностей
 $P_f = P_g = P_h = 1$

	$^{36}\text{Kr} - ^{54}\text{Xe}$	$^{47}\text{Ag} - ^{55}\text{Cs}$
α_{fd} , а. е.	10 (15.5)	11 (18.5)
$\Delta\varepsilon_{fd}$, а. е.	100 (112)	55 (70)
p_{fd}	0.055 (0.11)	0.20 (0.25)
α_{fg} , а. е.	6 (11)	7.5 (13)
$\Delta\varepsilon_{fg}$, а. е.	32 (32)	81 (95)
p_{fg}	0.18 (0.29)	0.049 (0.11)
$P_{M_H}^{(1)}$	0.02 (0.06)	0.02 (0.05)
$P_{M_H}^{(2)}$	0.98 (0.94)	0.98 (0.95)
$P_{L_L}^{(1)}, P_{L_H}^{(1)}$	0.10 (0.20)	0.32 (0.38)
$P_{L_L}^{(2)}$	0.89 (0.79)	0.64 (0.56)
$P_{L_H}^{(2)}$	0.003 (0.012)	0.04 (0.06)

Примечание. Расчет по формулам (1)–(4), (6), (7) с параметрами α , $\Delta\varepsilon$, определенными из расчетов [7, 21] энергий квазимолекулярных орбиталей $\varepsilon_i(R)$. В скобках расчет с параметрами α , $\Delta\varepsilon$ (8).

им вероятностей. Из табл. 2 следует, что использование формул (7) с параметрами (8) завышает величины вероятностей p_{fd} , p_{fg} главным образом вследствие завышения параметра α (8). В то же время, несмотря на существенную неточность в значениях параметров (8), простые оценки (7), (8) позволяют определить характерные значения вероятностей переходов с точностью до фактора порядка двух, что обусловлено близостью параметров Месси для обсуждаемых переходов к единице. Вероятности образования вакансий $P^{(1)}$, $P^{(2)}$ достаточно надежно определяются с использованием параметров (8) в тех случаях, когда значения $P^{(1)}$, $P^{(2)}$ велики ($P^{(1)}, P^{(2)} \geq 0.1$).

Вероятность образования K -вакансии в процессе деления мала. Так, для наиболее вероятных продуктов деления урана ($^{88}\text{Sr} - ^{54}\text{Xe}$) в случае прямой ионизации $3d\sigma$ -орбитали возможно образование K_L -вакансии в результате

перехода $3d\sigma \rightarrow 2p\sigma$. Оценка по формуле Демкова (7), (8) вероятности такого перехода дает значение $p_{dp} \approx 0.015$. Вероятность образования K_L -вакансии в результате перехода из вышележащих состояний, например $4f\sigma$, также мала ($p_{fp} \sim 10^{-3}$).

Заключение

Отметим основные характеристики электронов и ионов, образовавшихся в процессе деления.

1. Основная часть свободных электронов, образовавшихся в процессе деления, а также электронов, образовавшихся при столкновениях ионов-осколков с многоэлектронными атомами среды, имеет энергию $\epsilon \lesssim 500$ эВ. Такие электроны эффективно возбуждают и ионизуют атомы среды, которая окружает делящийся элемент. В процессе торможения эти электроны создают неравновесную плазму [1]. При прохождении иона-осколка через газ (с заданной концентрацией атомов) наибольшая плотность свободных электронов (на единицу длины пробега осколка) создается в случае достаточно тяжелых газов, например Kr, Xe, когда многоэлектронным d, f -оболочкам соответствуют энергии связи $| \epsilon | \lesssim 100$ эВ. Плазма криптона и ксенона, создаваемая осколками деления Cf (n_{th}, f), экспериментально исследовалась в [26, 27].

Высокоэнергетическая часть электронного спектра ($\epsilon \geq 1$ кэВ) образуется за счет оже-распада вакансий и внутренней конверсии γ -излучения ядер-осколков.

2. В процессе деления (за время $t \sim 10^{-17}$ с) образуются ионы-осколки с суммарным зарядом $q_Z \approx 50-55$. Дополнительное увеличение заряда q_Z на величину $\delta q_Z^4 \approx 2$ при $t \sim 10^{-16}$ с и величину $\delta q_Z^6 \leq 3$ при $t = 10^{-14}-10^{-7}$ с обусловлено оже-распадом образовавшихся в процессе деления вакансий во внутренних электронных оболочках осколков и внутренней конверсией γ -излучения возбужденных ядер-осколков. Первоначальный заряд осколков q_Z превосходит равновесное значение для случая распространения ионов в среде.

3. Практически каждое деление сопровождается образованием одной-двух вакансий в L -оболочке легкого и M -оболочке тяжелого осколков. Каждое четвертое-пятое деление сопровождается образованием вакансии в L -оболочке тяжелого осколка.

Вероятности образования L - и M -вакансий в процессе деления сопоставимы с вероятностями образования этих вакансий в результате внутренней конверсии γ -излучения возбужденных ядер-осколков. Вероятность образования K -вакансии в процессе деления пренебрежимо мала по сравнению с вероятностью образования K -вакансии в результате внутренней конверсии.

Обсудим кратко возможность экспериментального исследования процессов в электронной оболочке при делении ядер. Наиболее целесообразным представляется эксперимент по делению тяжелых ядер в газовой фазе при облучении нейтронным потоком с регистрацией отдельных актов деления и соответствующих продуктов. Особый интерес представляет регистрация с высоким временным разрешением электронного и рентгеновского спектров распада. Существенное различие во времени выхода рентгеновского излучения и оже-электронов, обусловленных, с одной стороны, вакансиями деления, а с другой — вакансиями конверсии, в принципе позволяет разделить эти механизмы образования вакансий. Информация об образовании вакансий по обсуждаемому механизму в этом случае может быть получена при сопоставлении экспериментального спектра с тем, который связан с конверсией. Существенно, что вероятности образования вакансий деления и вакансий конверсии имеют существенно различные зависимости от ядерного состава ядер-осколков.

Авторы глубоко благодарны Ю. Н. Демкову за интерес к работе и полезные обсуждения.

Литература

- [1] Руданов В. Д., Фридман А. А. Физика химически активной плазмы. М.: Наука, 1984. 415 с.

- [2] Boersma-Vlein W., Kelling F., Kistemaker J. // High Temp. Sci. 1985. Vol. 18. N 3. P. 131—158.

- [3] Бор Н. Прохождение атомных частиц через вещество. М.: ИЛ, 1950. 150 с.
- [4] Specht H. J. // Z. Phys. 1965. Vol. 185. N 4. P. 301—330.
- [5] Девдариани А. З., Загребин А. Л. // ЖЭТФ. 1984. Т. 87. Вып. 1 (7). С. 14—17.
- [6] Девдариани А. З., Загребин А. Л. // Матер. III науч. семинара «Автоионизационные явления в атомах». М., 1986. С. 150—151.
- [7] Eichler J., Wille U., Fastrup B., Taulbjerg K. // Phys. Rev. 1976. Vol. A14. N 2. P. 707—717.
- [8] Демков Ю. Н., Зарецкий Д. Ф., Карпешин Ф. Ф. и др. // Письма в ЖЭТФ. 1978. Т. 28. Вып. 5. С. 287—290.
- [9] Hoffman D. C., Hoffman M. M. // Ann. Rev. Nucl. Sci. 1974. Vol. 24. P. 151—207.
- [10] Банд И. М., Тржасковская М. Б. Препринт ЛИЯФ АН СССР. № 92. Л., 1974.
- [11] Ганерский Ю. П., Дасхурэн Б., Марков Б. Н. Осколки деления ядер. М.: Энергоатомиздат, 1986. 176 с.
- [12] Bohr N. // Phys. Rev. 1940. Vol. 58. N 7. P. 654—655.
- [13] Bohr N. // Phys. Rev. 1941. Vol. 59. N 3. P. 270—275.
- [14] Wohlfarth H., Lang W., Dann H. et al. // Z. Phys. 1978. Vol. A 287. N 2. P. 153—163.
- [15] Nikolaev V. S., Dmitriev I. S. // Phys. Lett. 1968. Vol. 28A. N 4. P. 277—278.
- [16] Миздал А. В. Качественные методы в квантовой теории. М.: Наука, 1973. 165 с.
- [17] Sevier K. O. // Atomic Data and Nuclear Data Tables. 1979. Vol. 24. N 4. P. 323—371.
- [18] Попеко Л. А., Петров Г. А. Препринт ЛФТИ АН СССР. № 127. Л., 1968.
- [19] Khan T. A., Hofman D., Horsch F. // Nucl. Phys. 1973. Vol. A205. N 3. P. 480—516.
- [20] Wille U. // J. Phys. B. 1983. Vol. 16. N 9. P. L275—L278.
- [21] Presser G., Stähler J., Werner R., Wille U. // J. Phys. B. 1983. Vol. 16. N 2. P. 197—214.
- [22] Демков Ю. Н. // ЖЭТФ. 1963. Т. 45. Вып. 2. С. 195—201.
- [23] Watson R. L. Lawrence Radiation Laboratory Report. California, 1966.
- [24] Reisdorf W., Unik J. P., Griffin H. C., Glendenin L. E. // Nucl. Phys. 1971. Vol. A177. N 2. P. 337—378.
- [25] Nikitin E. E. // Adv. Quant. Chem. 1970. Vol. 5. P. 135—184.
- [26] Takahashi T., Ruan J., Kubota S., Shiraishi F. // Phys. Rev. 1985. Vol. A32. N 2. P. 1211—1214.
- [27] Takahashi T., Ruan J., Kubota S., Shiraishi F. // Nucl. Instr. and Meth. 1982. Vol. 196. N 1. P. 83—85.
- [28] Siegert G., Wollnik H., Greif J. et al. // Phys. Rev. 1976. Vol. C14. N 5. P. 1864—1873.

Ленинградский
государственный университет

Поступило в Редакцию
5 ноября 1987 г.
В окончательной редакции
27 апреля 1988 г.